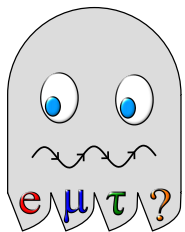


Activités STEREO au LAPP

Pablo DEL AMO SANCHEZ
pour le groupe STEREO LAPP



UNIVERSITÉ
SAVOIE
MONT BLANC

Réunion GDRI Maroc-France 17/12/15

Le LAPP



- 50 km du CERN
- ATLAS (calorimètre, projet Si tracker Alpine ; dibosons, digamma)
- LHCb (calorimètre ; angle γ , $b \rightarrow s \gamma$)
- HESS/CTA (mécanique, slow control),
- VIRGO (mécanique, optique)
- AMS (calorimètre)
- NEUTRINOS : OPERA (\sim finie),
SUPERNEMO (feuilles sources, slow control),
WA105 -> DUNE (plan d'anodes, élec ; lumière),
STEREO



Physiciens :

Pablo DEL AMO SANCHEZ

Jean FAVIER

Henri PESSARD

Wassila EL KANAWATI (postdoc)

Luis MANZANILLAS (doctorant)

Personnel technique :

Guillaume DELEGLISE

Nicolas ALLEMANDOU

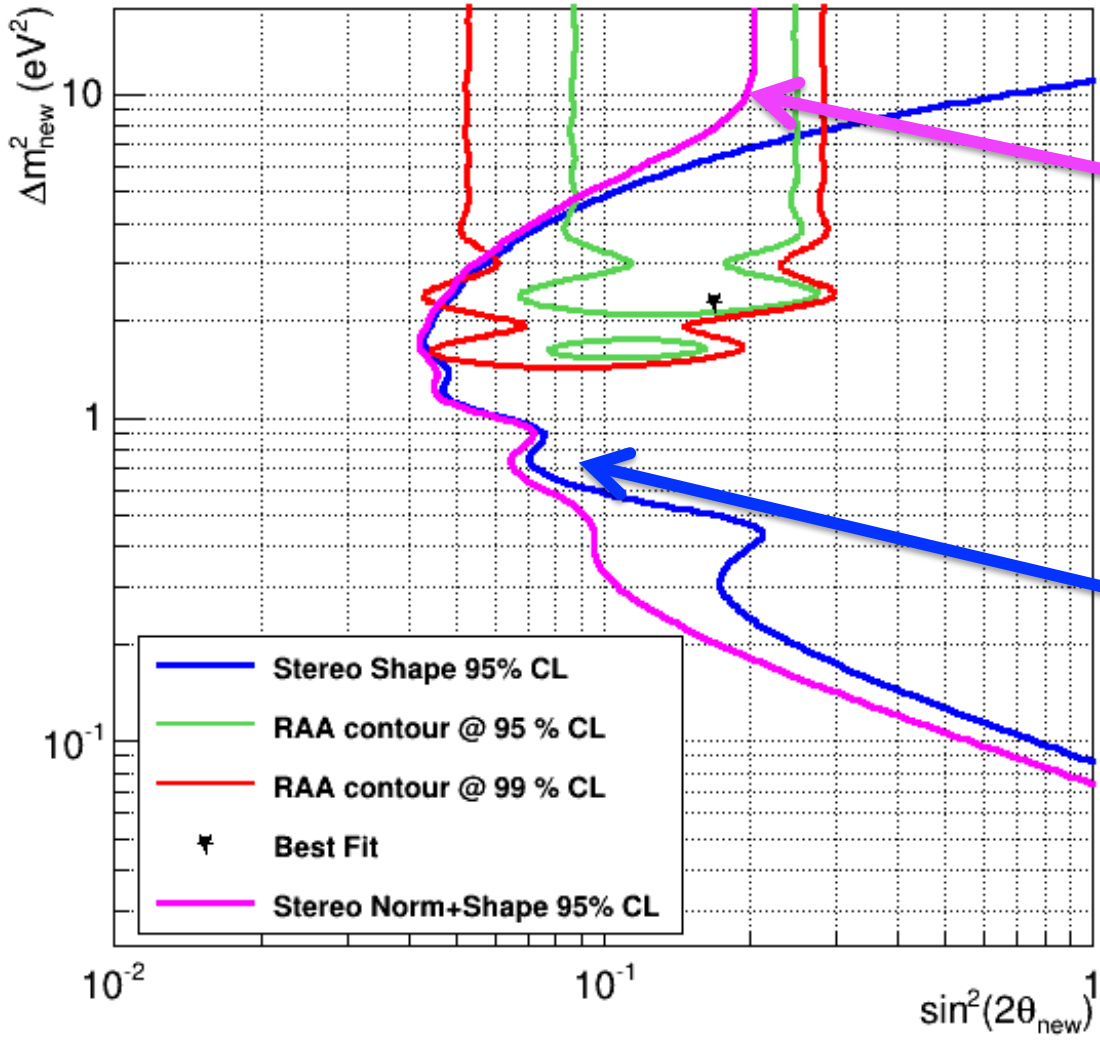
Inocencio MONTEIRO

Fabrice PELTIER

Sébastien VILALTE

- Conception, mise en œuvre et exploitation du système de **calibration par sources radioactives**
- Conception de la **mécanique des blindages** : design des blindages en plomb et polyéthylène et de la structure de support mécanique de la manip
- Participation à l'analyse des données

Objectifs calibration



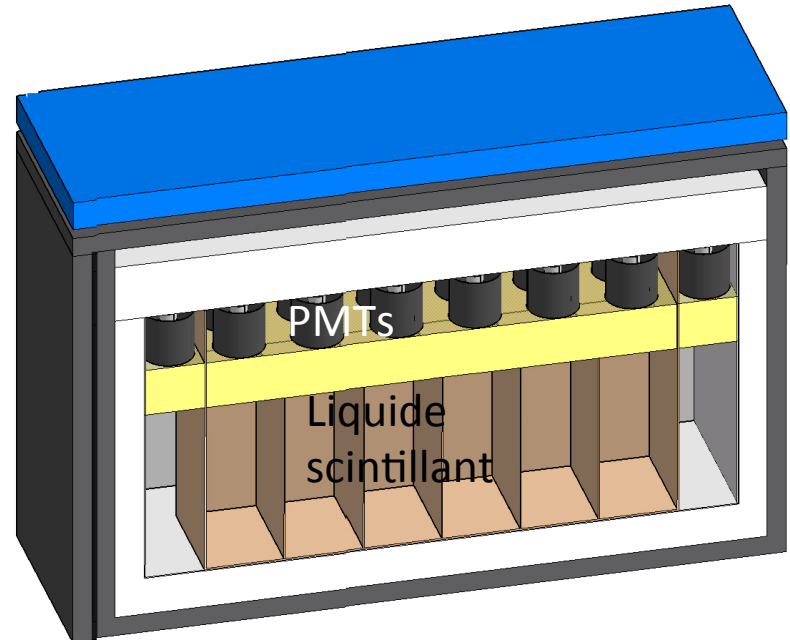
Signature: $\bar{\nu}_e + p \rightarrow e^+ + n$

Normalisation (taux de comptage) -> maîtrise de l'efficacité de reconstruction de captures de neutron

Mesure du spectre en énergie -> maîtrise de la reconstruction de l'énergie du positron
-> systématique énergie < 2 % (électronique + E déposée par sources)

Calibration par sources radioactives

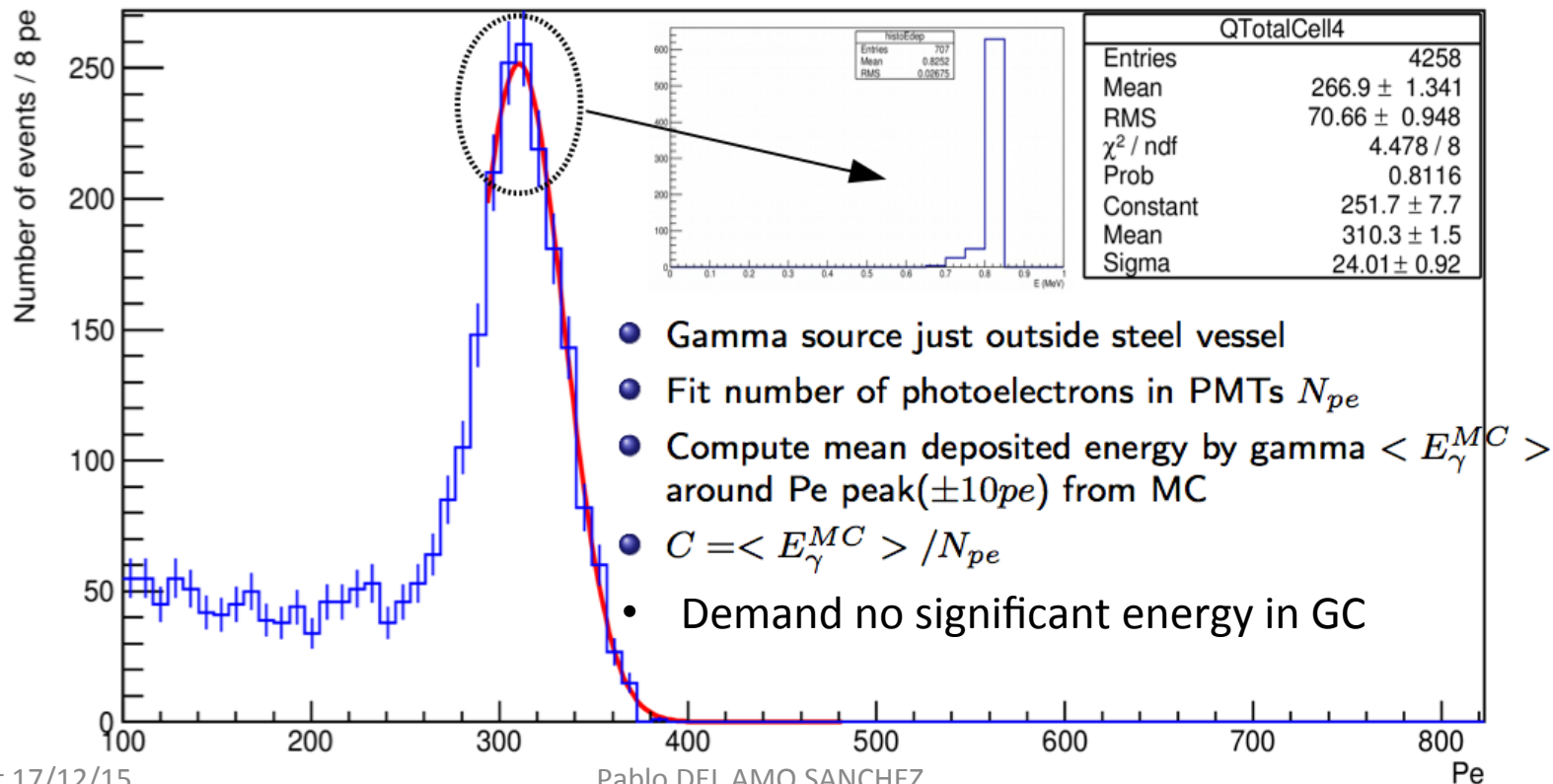
- Dépôt d'énergie : $PMT_i \rightarrow Q_i$
- LEDs donnent gain : $Q_i \rightarrow N^{pe}_i$
- Sources radioactives avec raies gamma bien connues :
 $N^{pe}_{tot} \rightarrow E (\text{MeV})$
- STEREO compare spectres dans cellules entre elles \rightarrow calibrer chaque cellule indépendamment, et GC aussi
- Façon optimale d'assurer une exposition maîtrisée des volumes actifs aux rayonnements des sources ?



Calibration

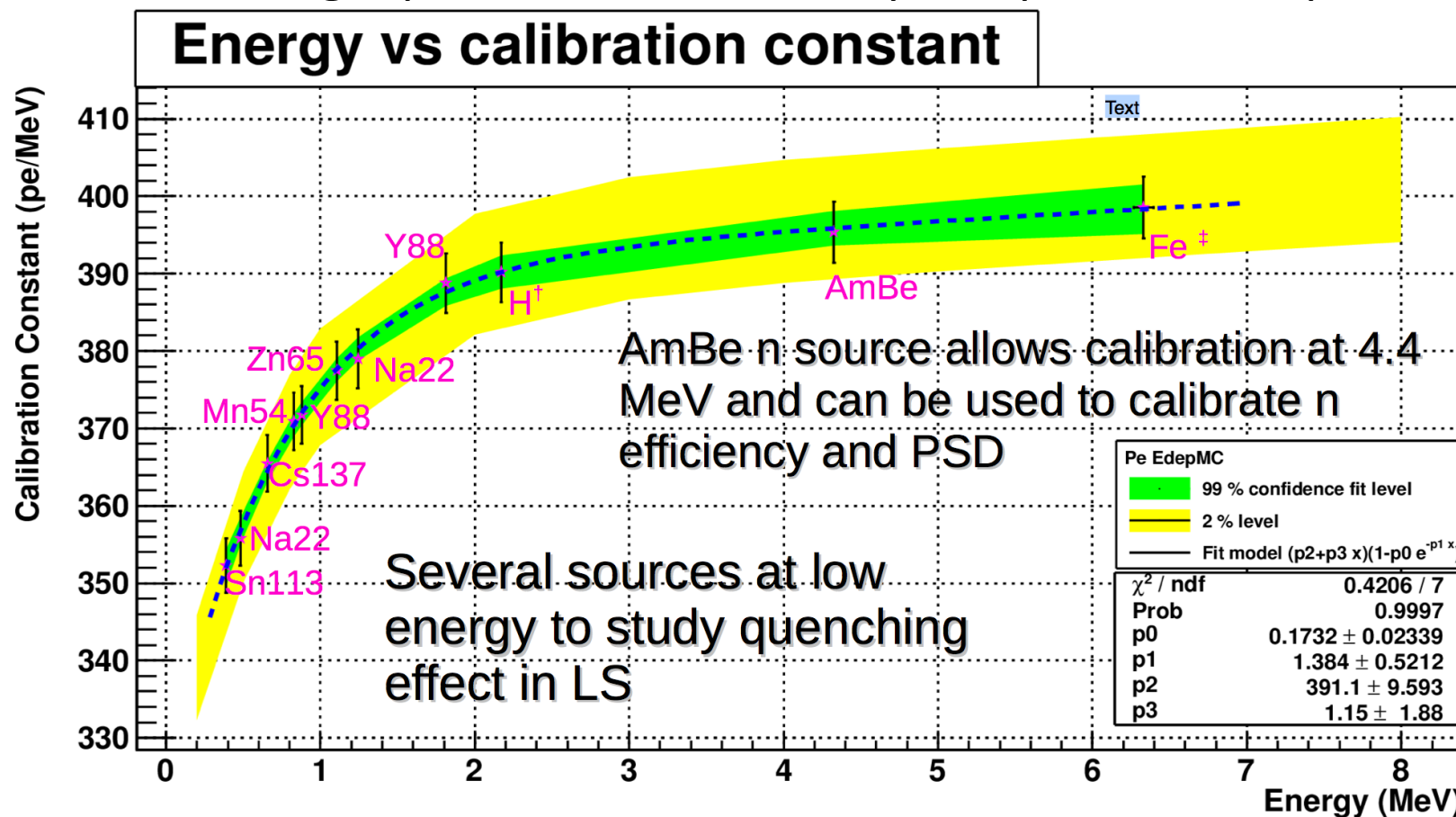
- Inspirés des expériences du Bugey : sources gamma à l'extérieur possible (contrairement à Double Chooz, Daya Bay, etc)

^{54}Mn (0.834 MeV) **outside LS vessel** (10 mm steel) between GC and shielding

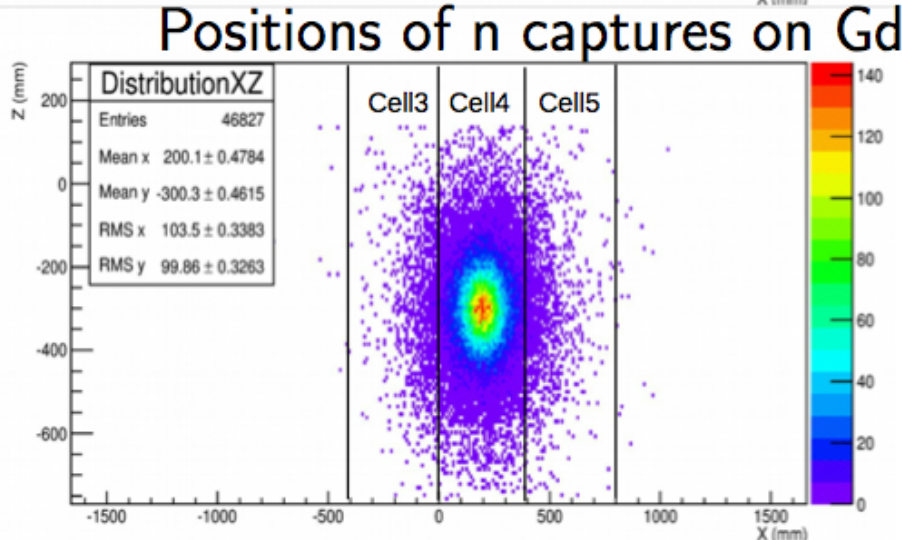
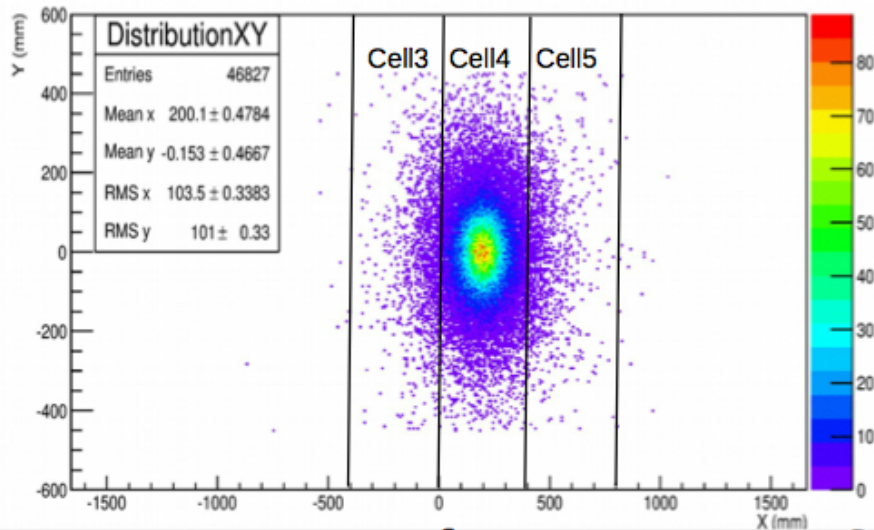


Courbe calibration

- Plein de sources possibles à basse énergie (<2 MeV)
- Haute énergie plus difficile mais en principe moins importante



Efficacité neutron

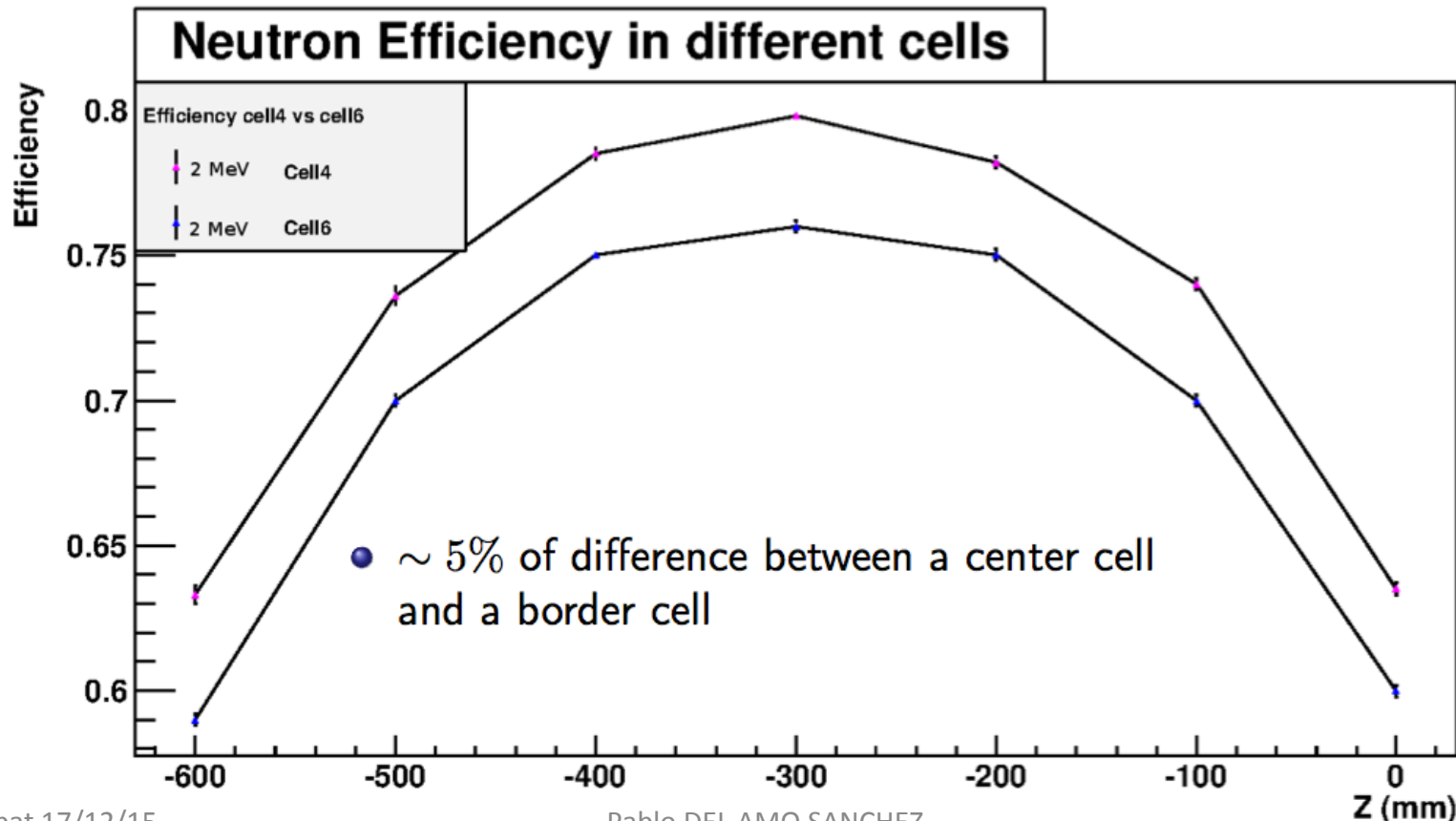


- Neutrons diffusent seulement ~ 10 cm -> calibration de l'extérieur pas possible -> besoin d'introduire les sources neutron dans cellules
- Comment savoir combien de n émis ? -> source AmBe (n toujours émis avec γ 4.4 MeV)
- Prompt γ 4.4 MeV tags n emission

$$\epsilon_n = N(\text{prompt} \cap \text{delayed}) / N(\text{prompt})$$

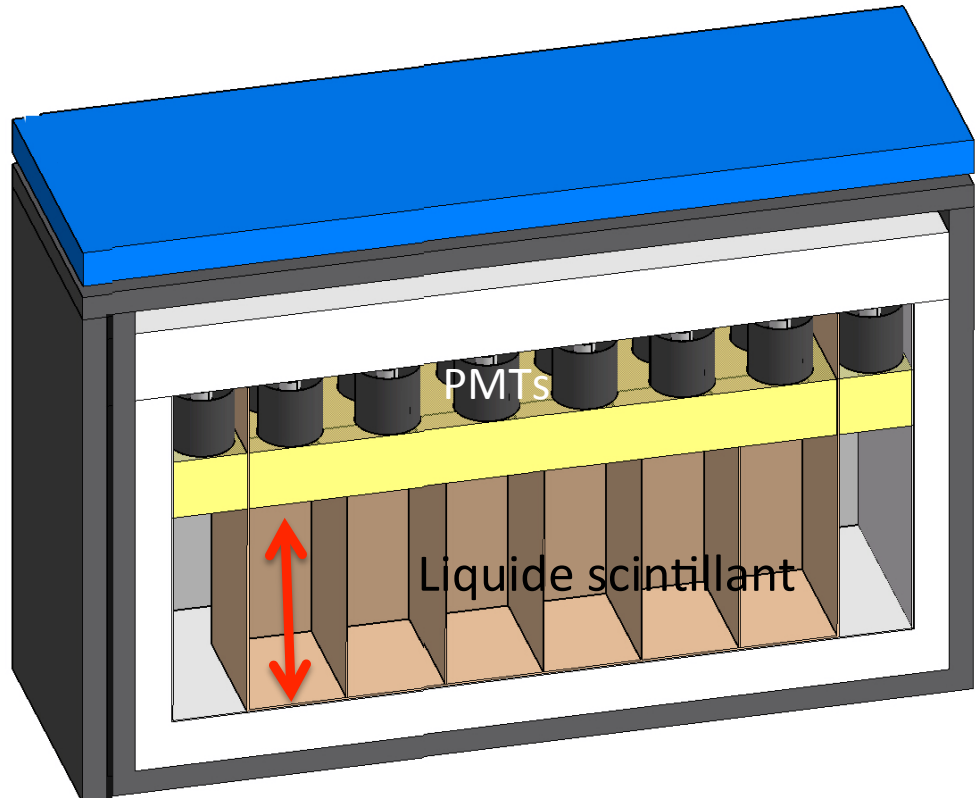
Efficacité neutron

- Mesurer efficacité n avec source n au sein du liquide scintillant
- Monitorer différences eff n entre cellules avec source en dessous



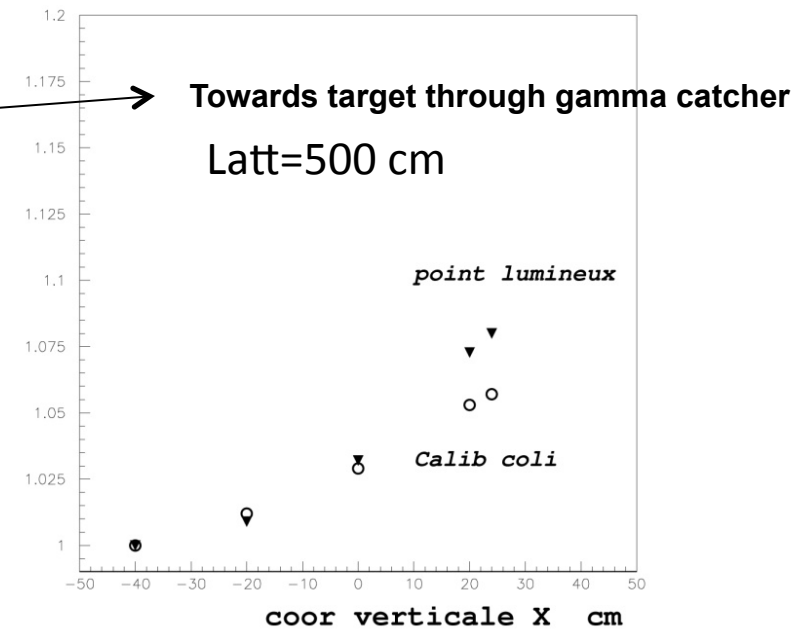
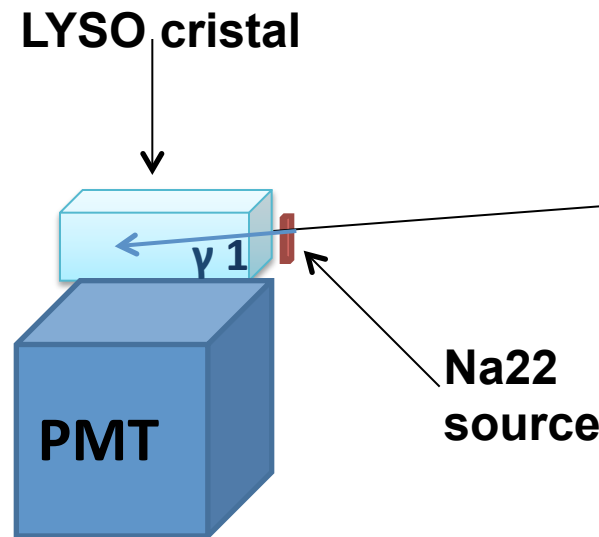
Dépendance en Z

- Lumière lue par PMTs d'un seul côté uniquement (du haut)
-> dépendance de l'énergie reconstruite avec distance aux PMTs
- Très important de bien contraindre cette dépendance

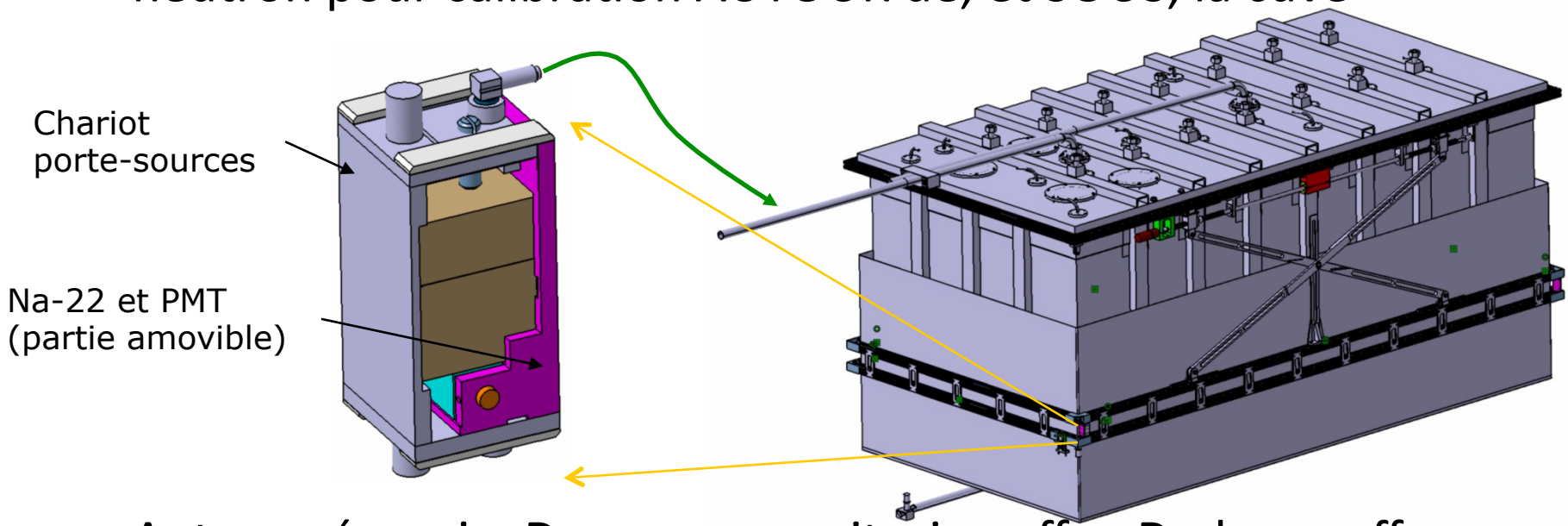


Dépendance en Z

- Développé système collimation active pour caractériser dépendance verticale

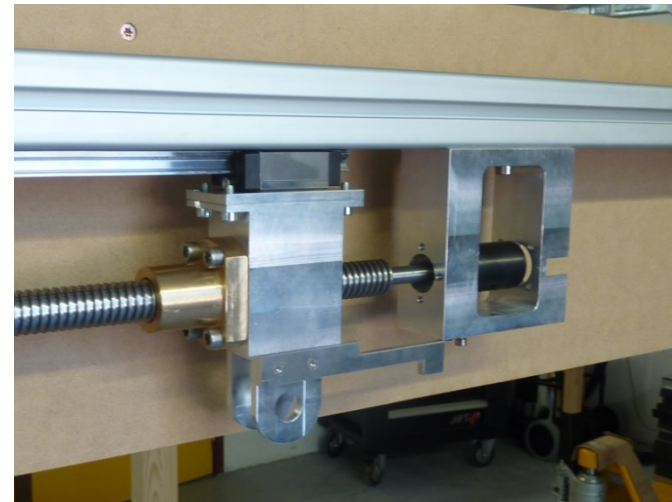


- Système automatisé de déplacement de sources gamma et neutron pour calibration AUTOUR de, et SOUS, la cuve



- Autour : énergie. Dessous : monitoring eff n. Dedans : eff n.
- Système actif de collimation pour caractérisation de la dépendance verticale (source Na-22 + cristal scintillant + PMT).
Électronique d'alimentation et découplage du signal du PMT

- Synchronisation automatisme élévation deux côtés réussie ; couple nécessaire pour élévation $\sim 30\%$ du couple max



- Tests déplacement chariot porte sources



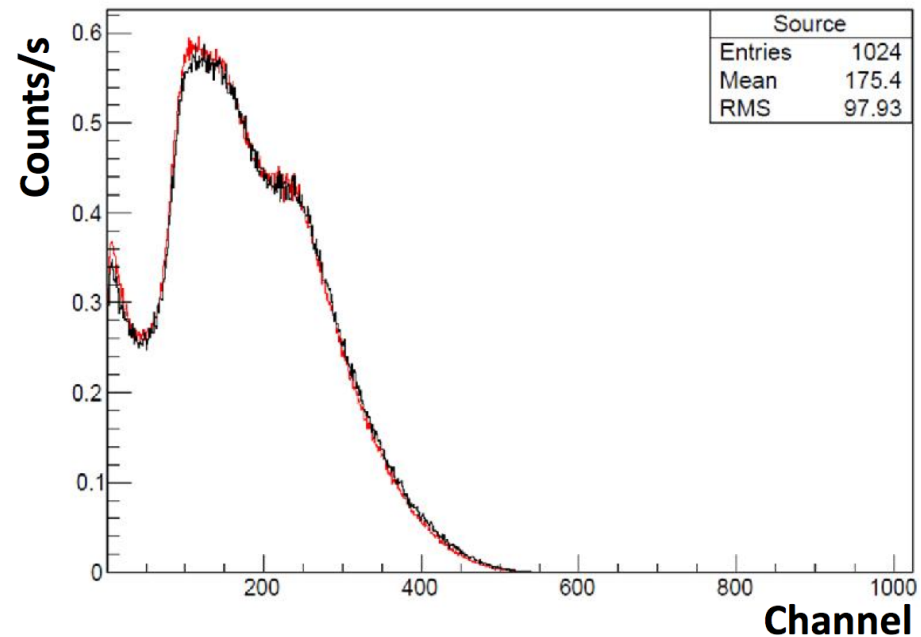
Tests syst. calibration



Rabat 17/12/15
Réunion GDRI Maroc-France

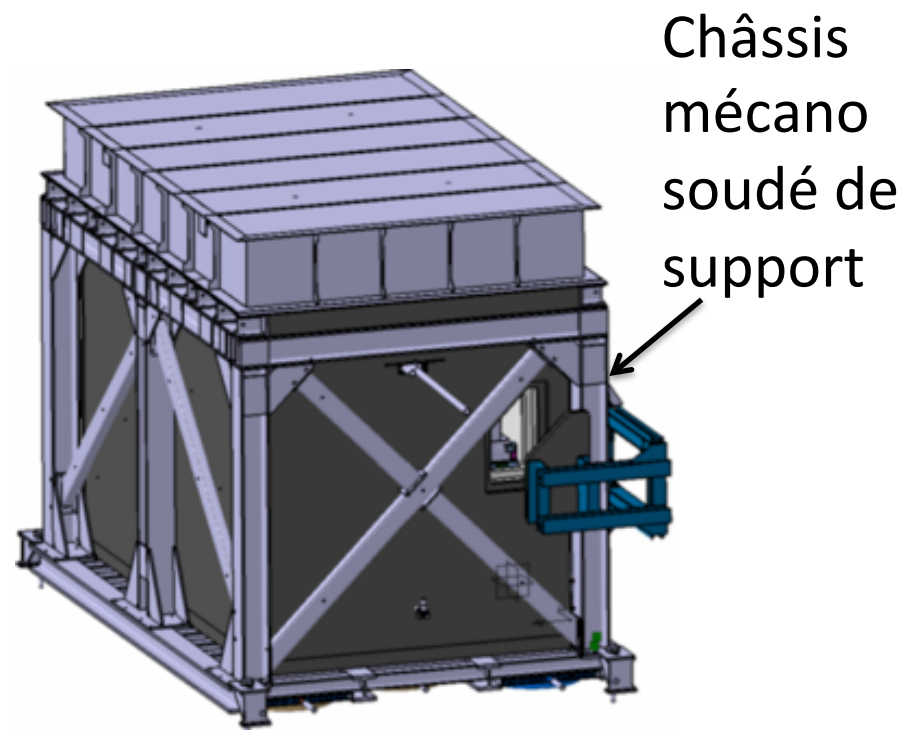
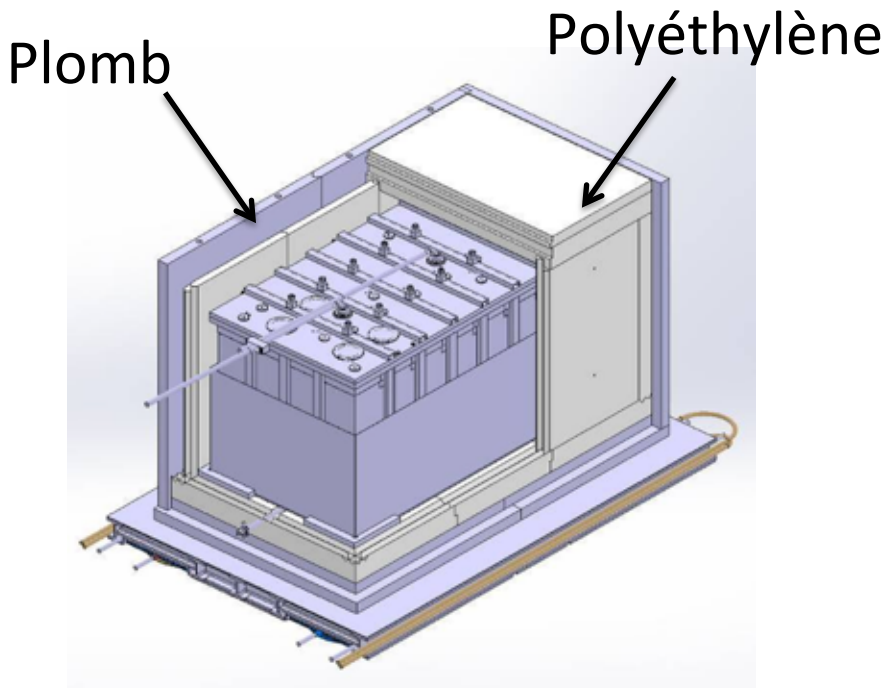
Pablo DEL AMO SANCHEZ,
LAPP - IN2P3 - CNRS / U. Savoie Mont Blanc

- Tests du système cristal+PMT en cours



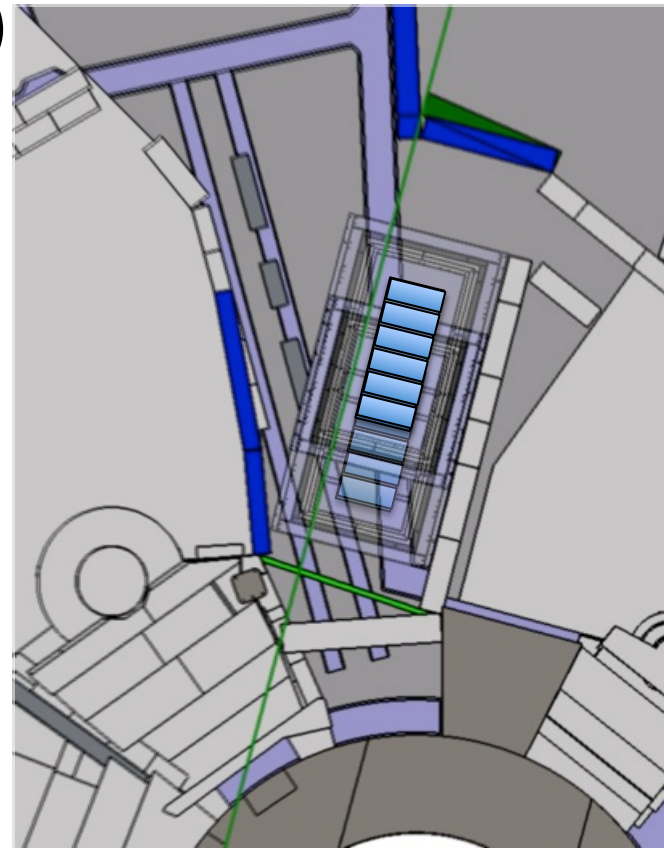
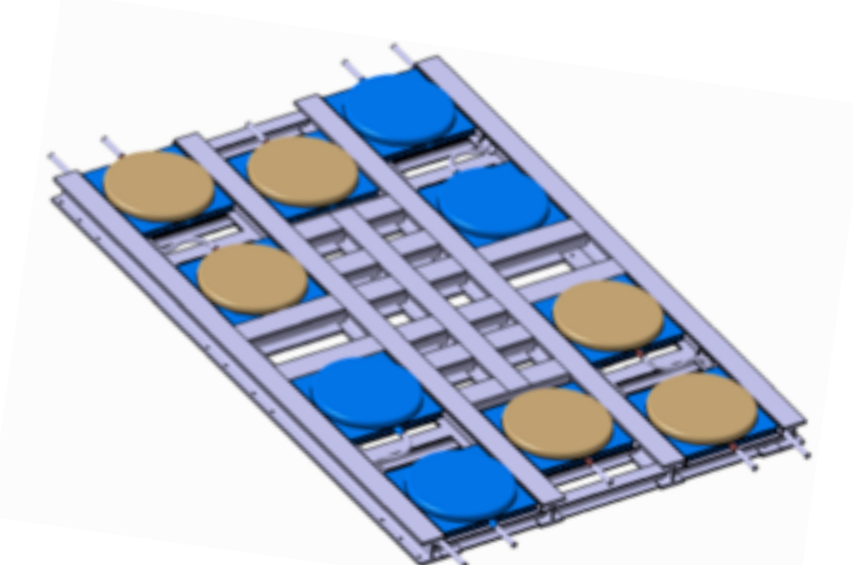
Mécanique blindages

- Ambiance gamma et n à l'ILL nécessite de blindages conséquents
- Conception des blindages et de leur structure de support
- Intégration globale de la maquette 3D et gestion des interfaces



Mécanique

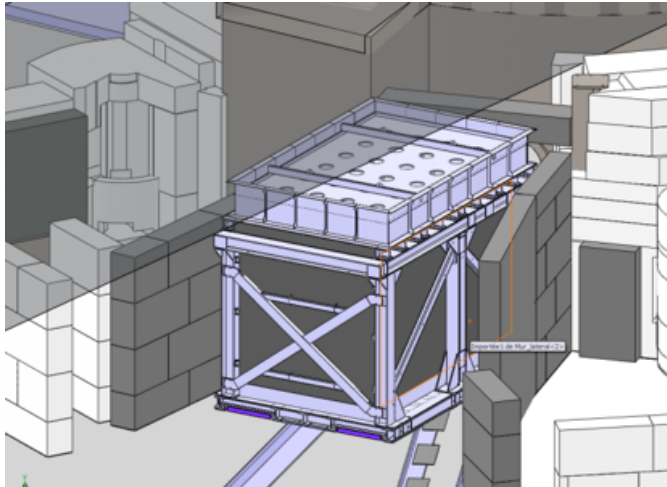
- Ajouté des coussins d'air pour déplacement des > 95 T de l'ensemble -> possibilité de prises des données en position proche ET reculée (1,4 m plus loin)



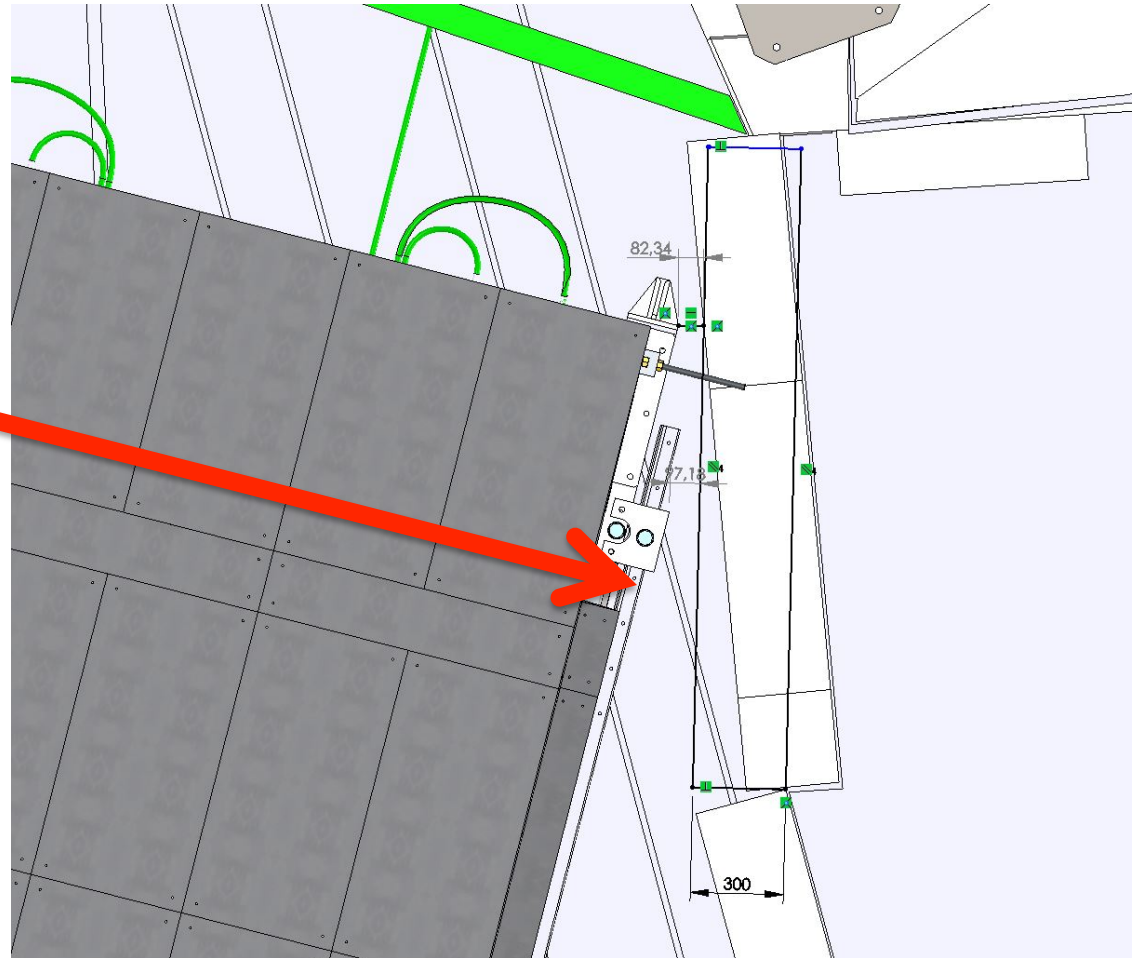
Mécanique

Etude de la cinématique
du déplacement sur
coussins d'air et guidage
de l'ensemble

Rail de guidage



Rabat 17/12/15
Réunion GDRI Maroc-France



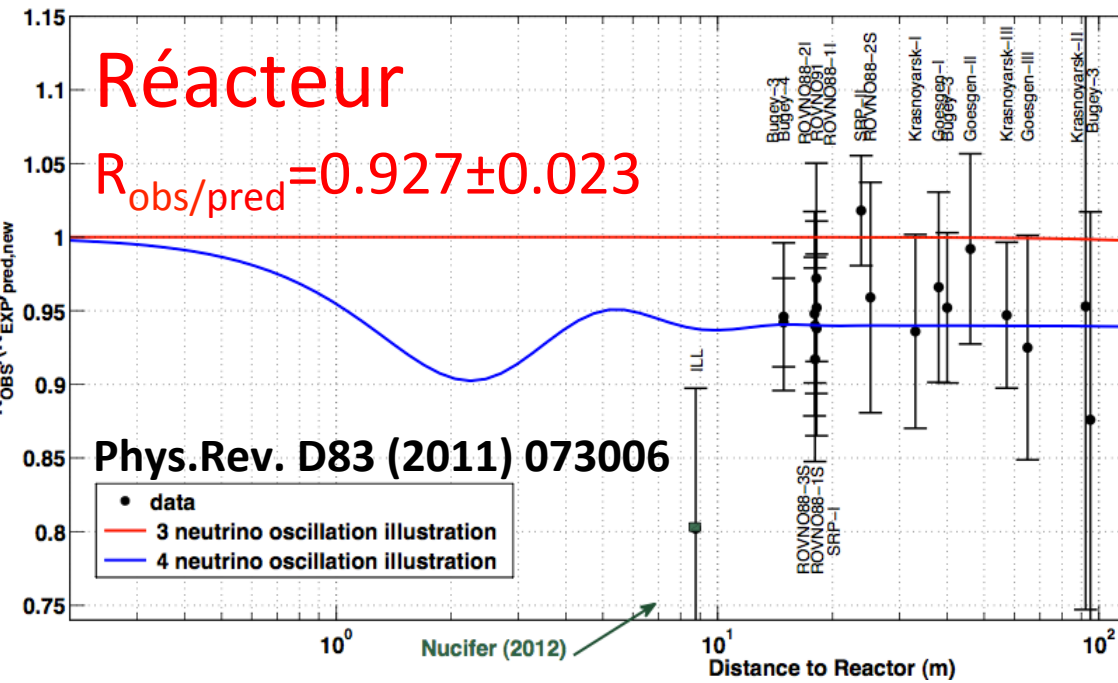
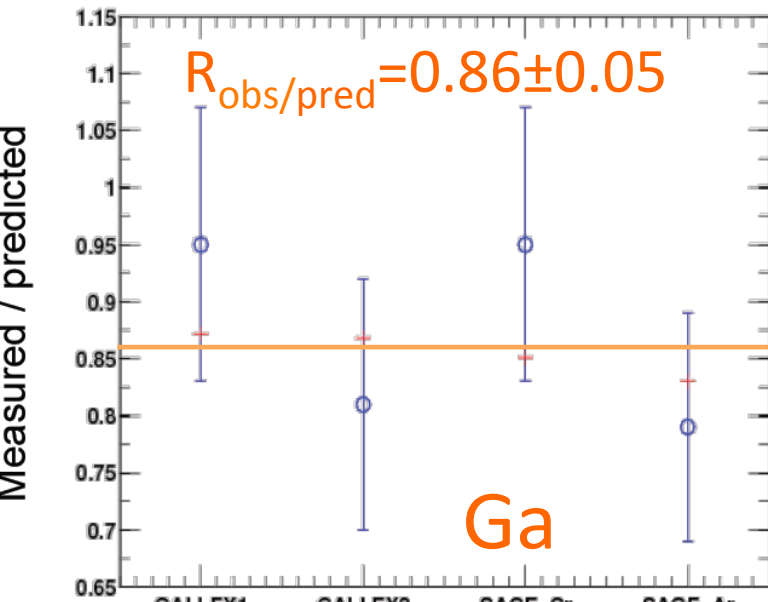
Pablo DEL AMO SANCHEZ,
LAPP - IN2P3 - CNRS / U. Savoie Mont Blanc

- Conception, mise en œuvre et exploitation du système de **calibration par sources radioactives**
- Conception de la **mécanique des blindages** : design des blindages en plomb et polyéthylène et de la structure de support mécanique de la manip
- Participation à l'analyse des données

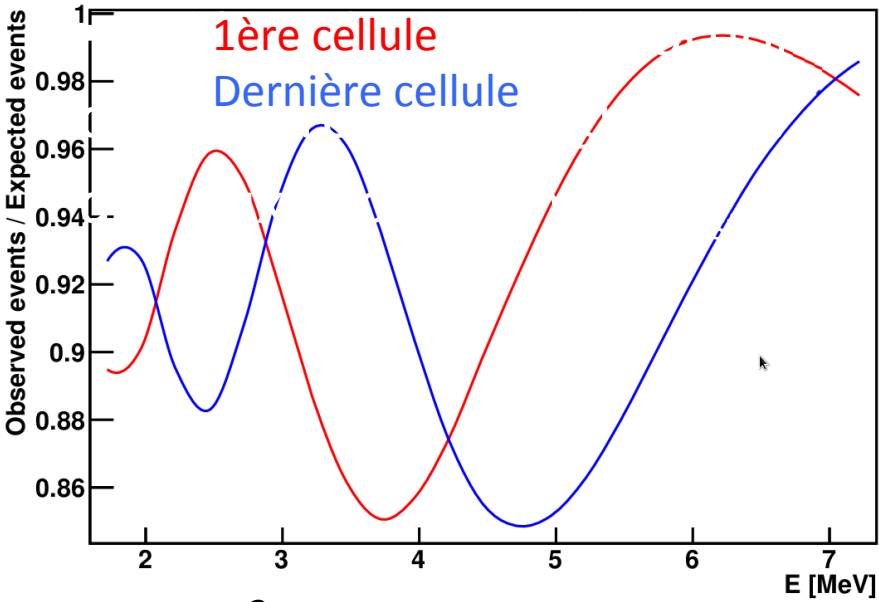


BACK UP

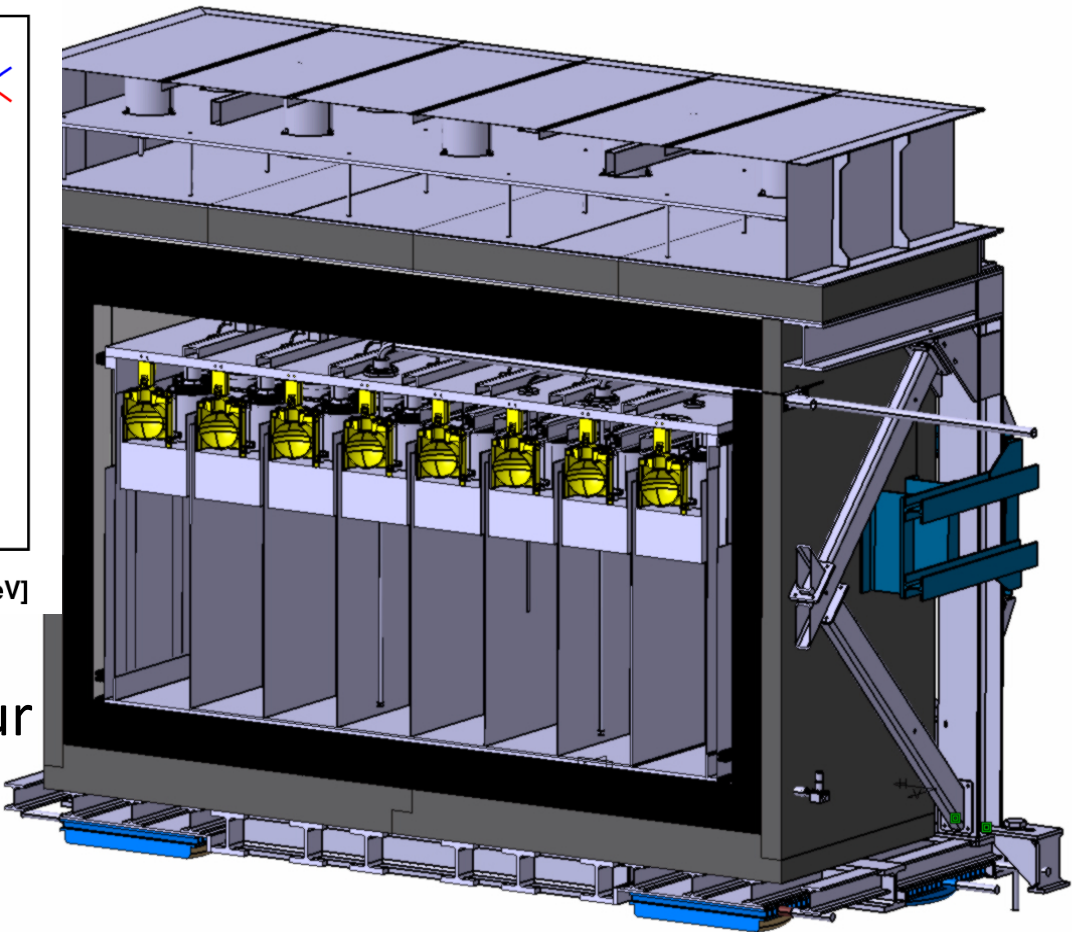
Anomalies expérimentales du Gallium (déficit observé dans runs calibration à 2.7σ) et des réacteurs (flux de ν_e observé inférieur de 3.0σ aux prédictions théoriques).



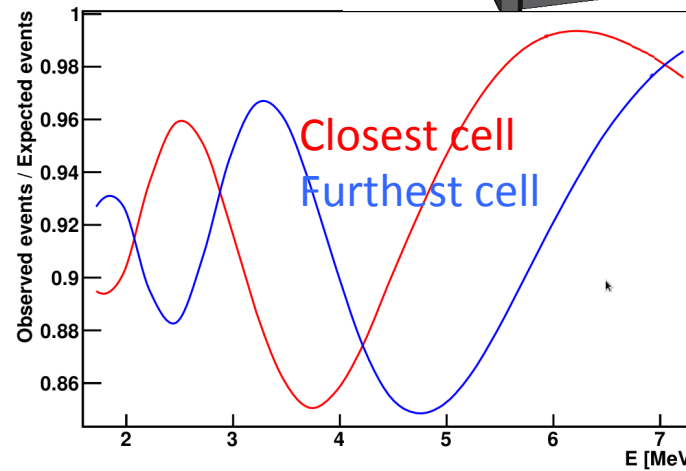
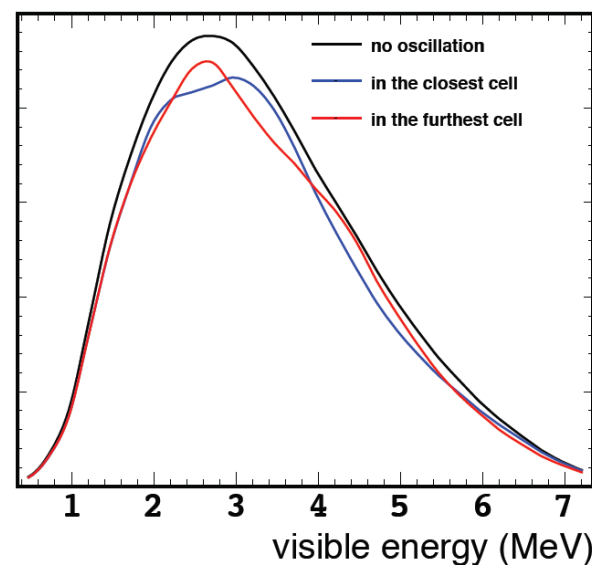
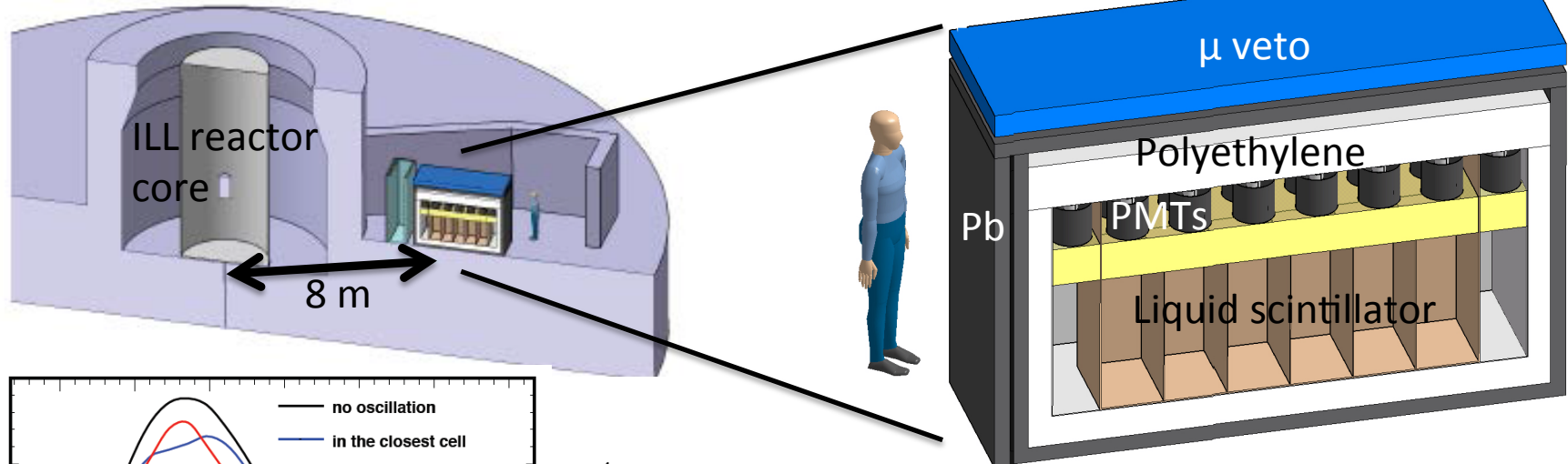
Explicable par ν stérile $\Delta m^2 \sim 2 \text{ eV}^2$, $\sin^2(2\theta_{ee}) \sim 0.2$, $L_{\text{osc}} \sim 2\text{m}$



- 2 m³ de liquide scintillant dopé au Gd, à 9-11 m du cœur
- Signature: $\nu_e + p \rightarrow e^+ + n$
- Cible segmentée pour étudier dépendance en L

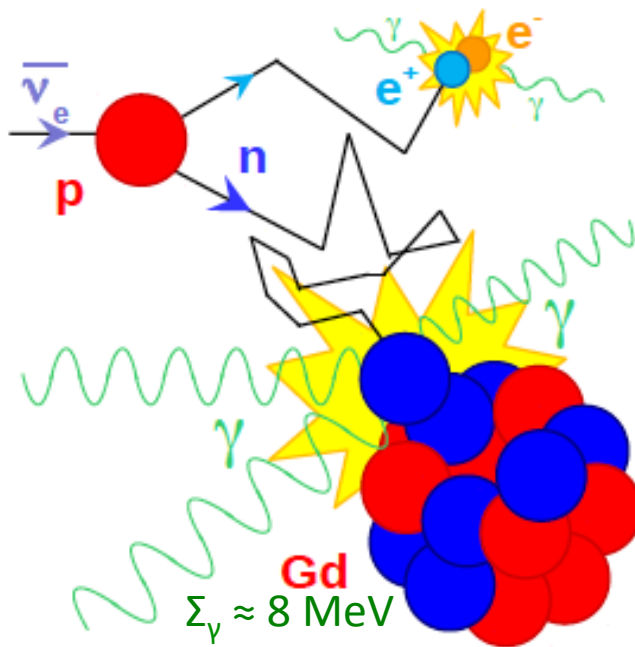


- Not just another flux measurement: in very short baselines, search for oscillation imprint on $\bar{\nu}$ energy spectrum

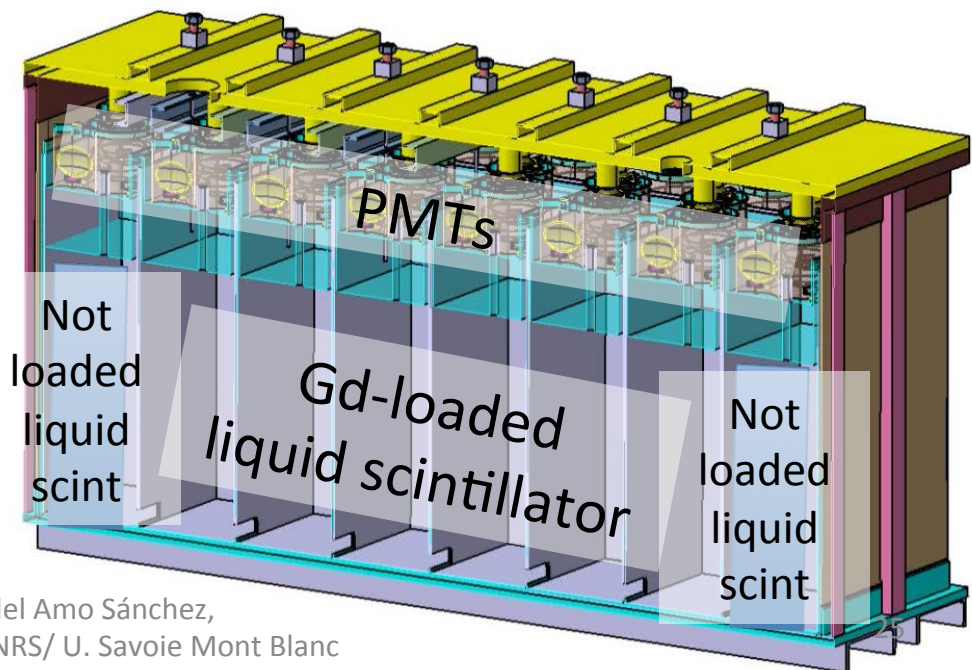


The STEREO detector

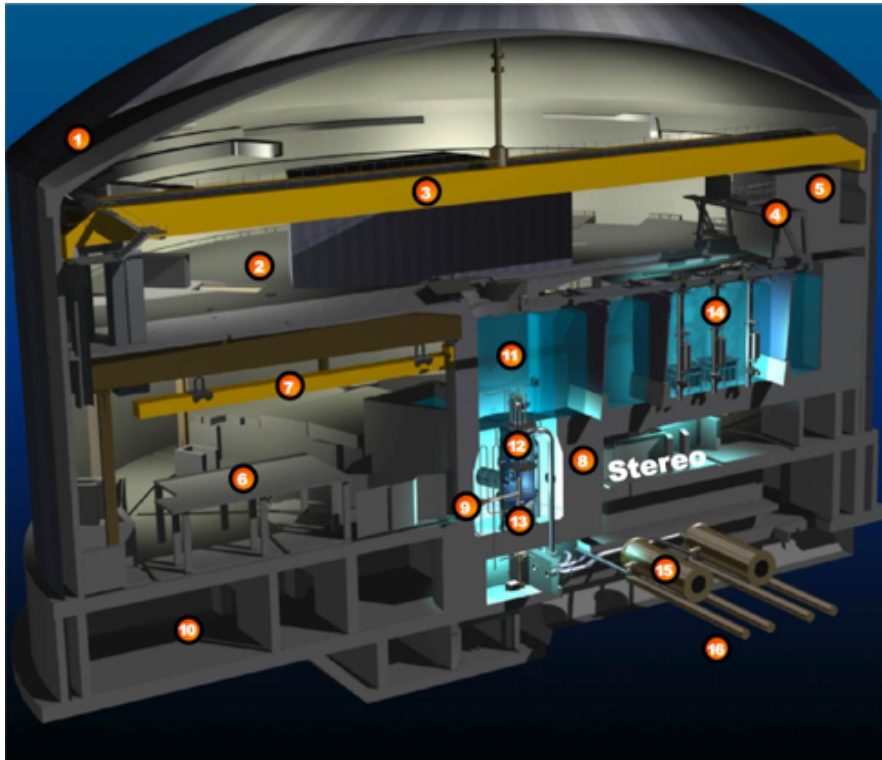
- $\bar{\nu}$ detection via inverse beta decay: $\bar{\nu}_e + p \rightarrow e^+ + n$
 - Signature: prompt (e^+ annihilation)
AND delayed (n capture on Gd) $\sim 15 \mu\text{s}$ later
- $$\begin{aligned} &\rightarrow n + \text{Gd} \rightarrow \text{Gd} + \gamma s \\ &\rightarrow e^+ + e^- \rightarrow \gamma\gamma \end{aligned}$$



- $E(\bar{\nu}) \approx E(\text{prompt}) + 0.78 \text{ MeV}$
- Good energy resolution!

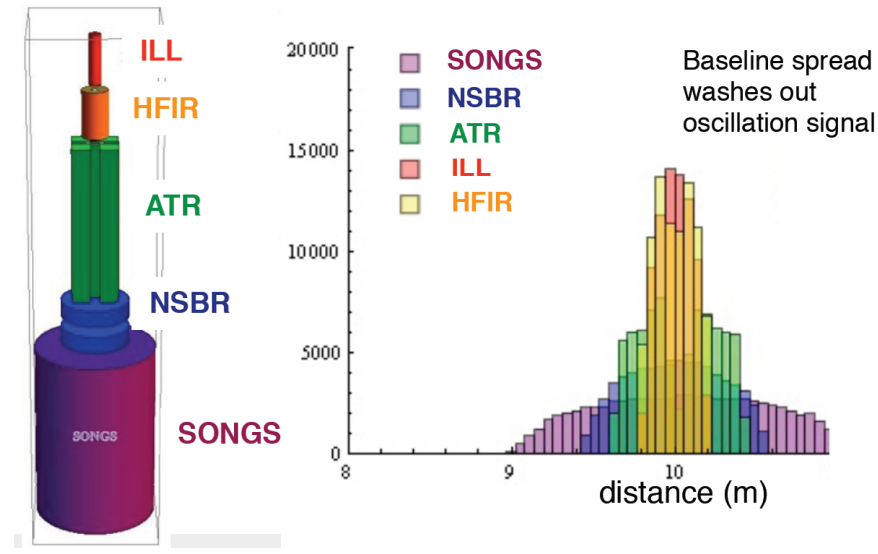


ILL reactor

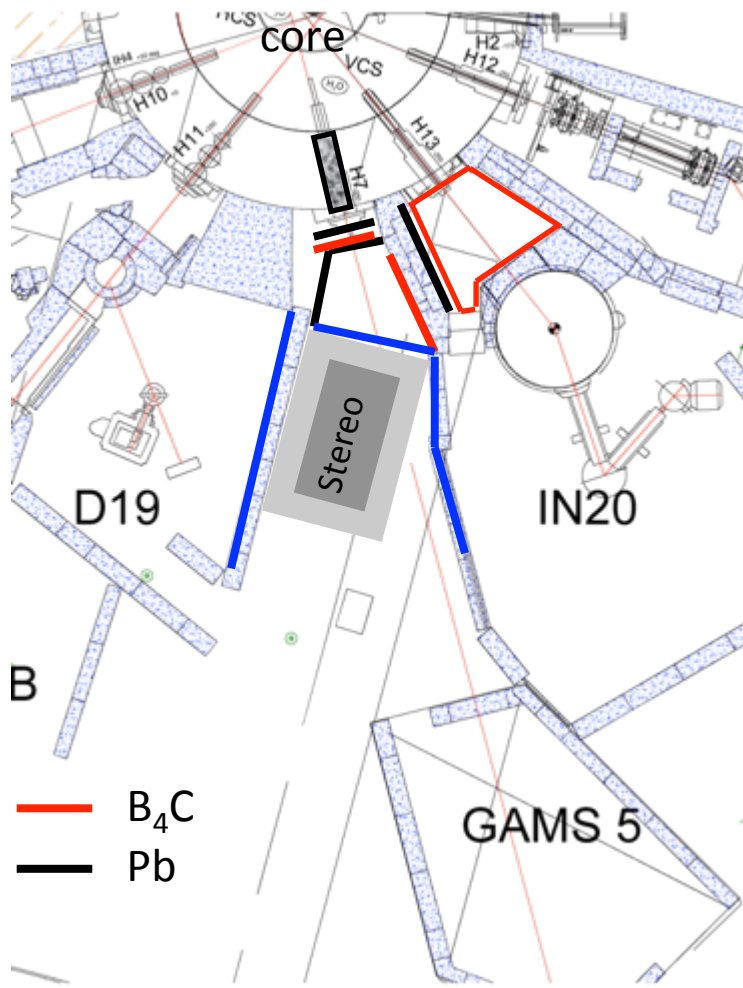


- 58 MW, high ^{235}U enrichment
- 3 to 4 cycles/year, 50 days/cycle
- Water channel overburden, 15 m.w.e.
- STEREO baseline $\langle L \rangle = 10$ m
- High γ and n flux

- Since $\langle L_{\text{osc}} \rangle \approx 4$ m, need **VERY COMPACT** nuclear reactor core
- Institute Laue-Langevin (Grenoble, France), diameter = 39 cm

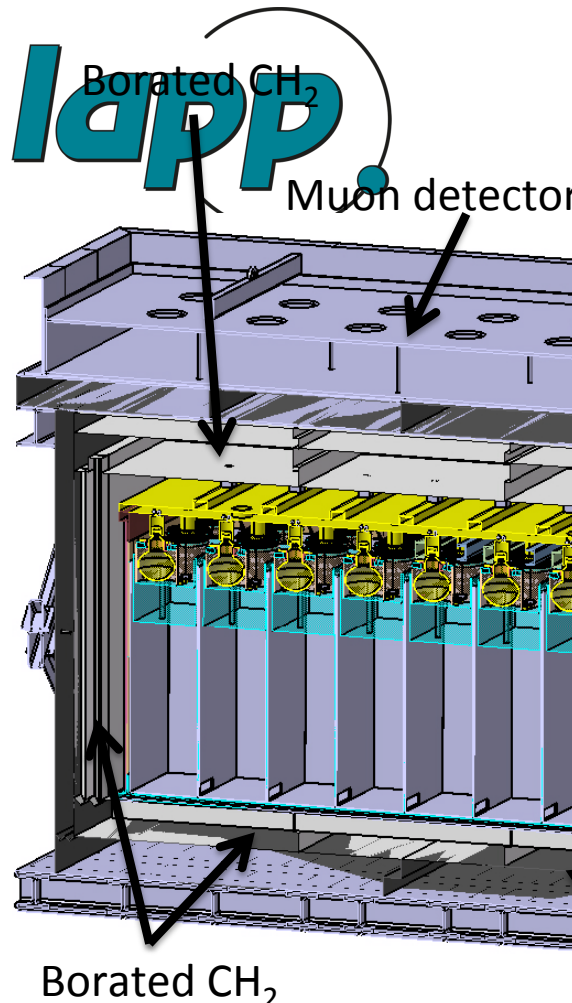


Backgrounds



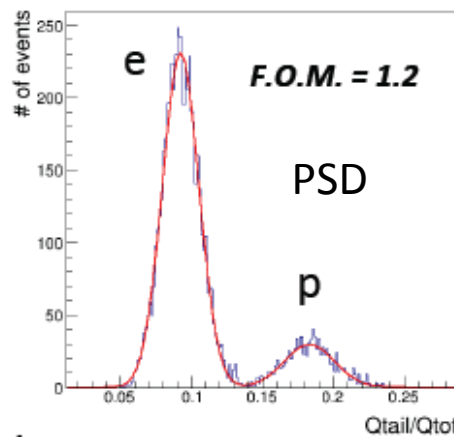
- On site measurements (γ , n, μ)
- γ rate on Ge counter

This histogram shows the count rate of gamma rays over time (Hits/s) on the y-axis (ranging from 0 to 0.09) versus energy in keV on the x-axis (ranging from 2000 to 10000). The distribution is dominated by a very high peak at low energies (around 2000 keV) and a long tail extending up to 10000 keV, with numerous smaller peaks representing individual gamma-ray events.
- High γ and n flux → accidentals, correlated background:
 - n_{fast} → proton recoil (prompt) + n capture (delayed)
 - Concrete+Pb plug for neutron line
 - B_4C and Pb on walls of nearby sources



Backgrounds

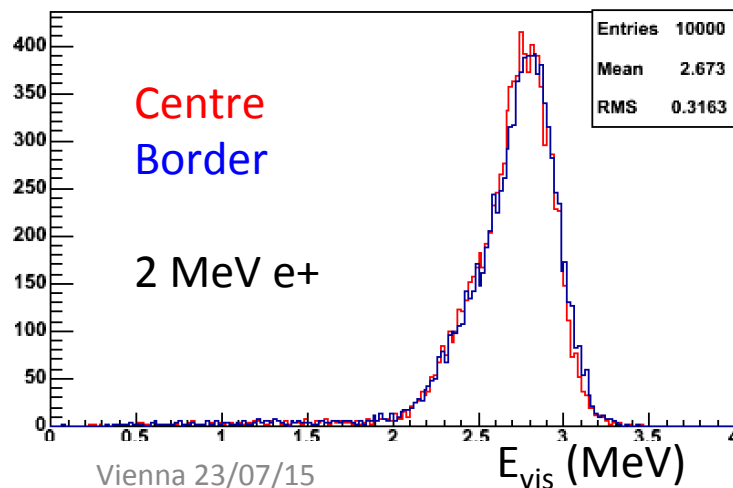
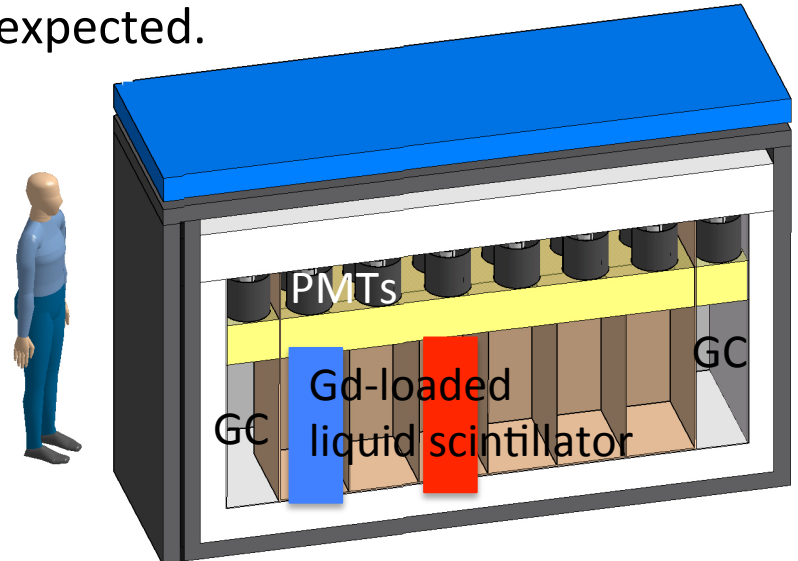
- On site measurements (γ , n, μ)
- High γ and n flux from reactor
- $n_{\text{fast}} \rightarrow p$ recoil (prompt) + n capture (del.)
- Shield STEREO from them:
 - Concrete+Pb plug for neutron line
 - B_4C and Pb on walls of nearby sources
 - CH_2 and Pb envelope around detector
- PSD in liquid scintillator for n_{fast}
- n_{fast} from cosmic rays
 - Water channel overburden (15 mwe)
 - Muon veto above detector
 - Reactor OFF measurement
- Check background models by shifting detector along axis



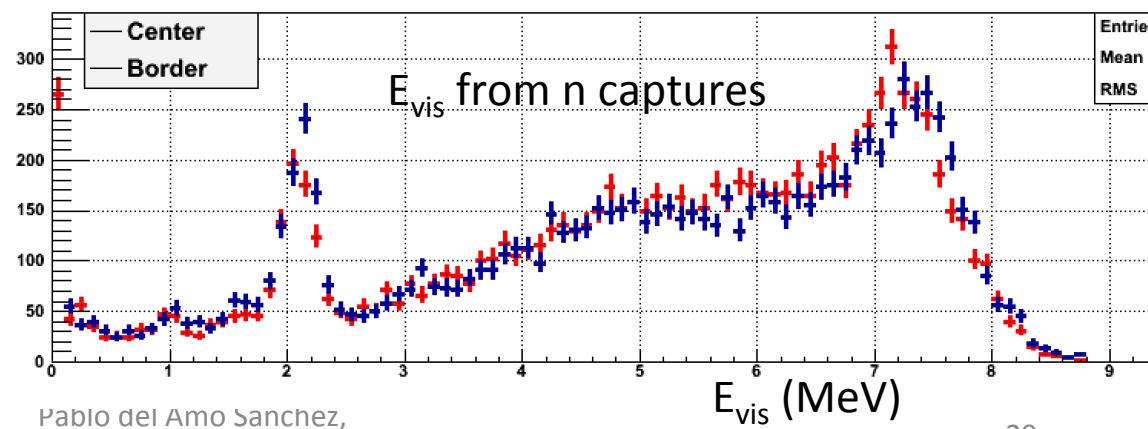
Detector response

Minimise asymmetries among cells.

- No difference in ν energy reconstruction expected.
(RMS $\approx 12\%$ for $E_{\text{vis}} \approx 3 \text{ MeV}$)
- 4% difference in neutron efficiency
due to lack of Gd in Gamma Catcher
(61% centre vs 57% border)

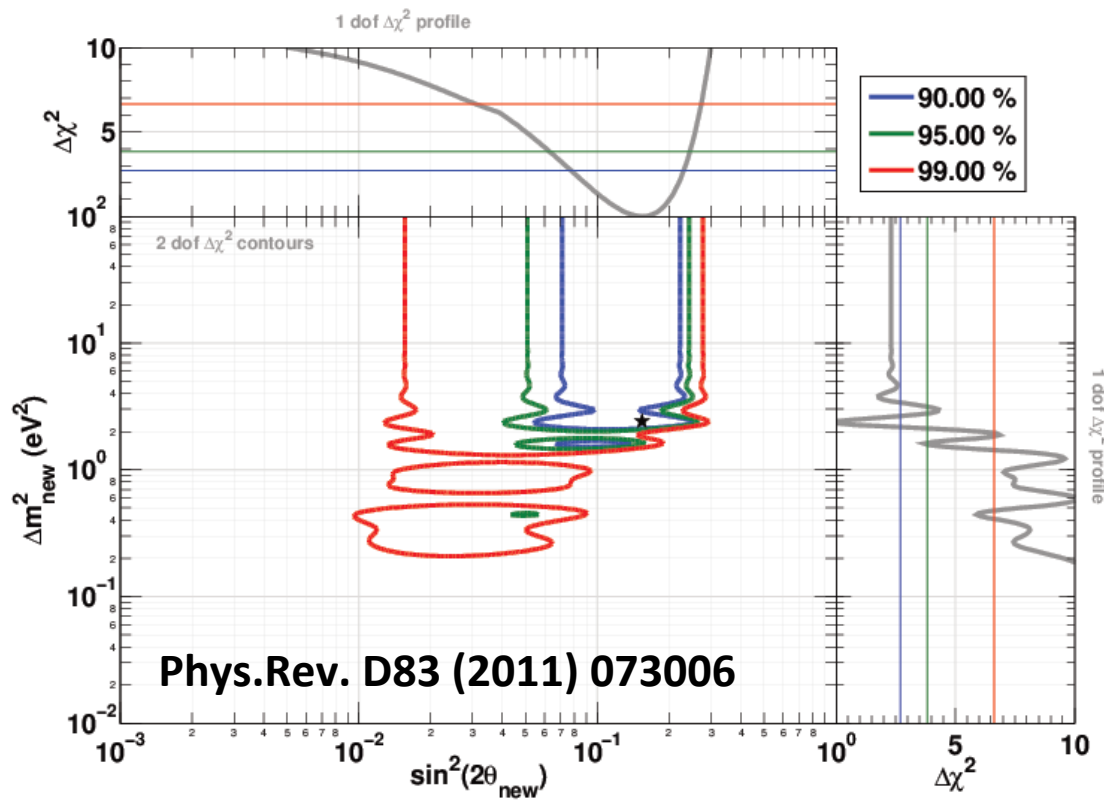


Vienna 23/07/15
EPS HEP 2015



Pablo del Amo Sanchez,
LAPP - IN2P3 - CNRS / U. Savoie Mont Blanc

- Both reactor and Ga anomalies can be explained by 1 sterile ν

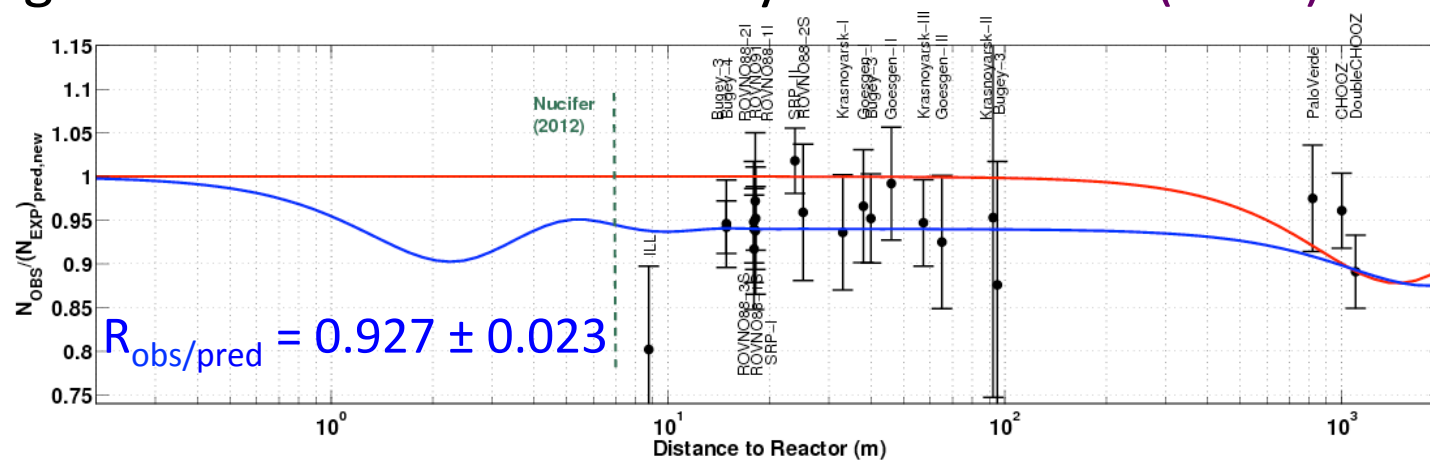


$$\begin{aligned}\Delta m^2 &\sim 2 \text{ eV}^2 \\ \sin^2(2\theta_{ee}) &\sim 0.2 \\ L_{\text{osc}} &\sim 2 \text{ m}\end{aligned}$$

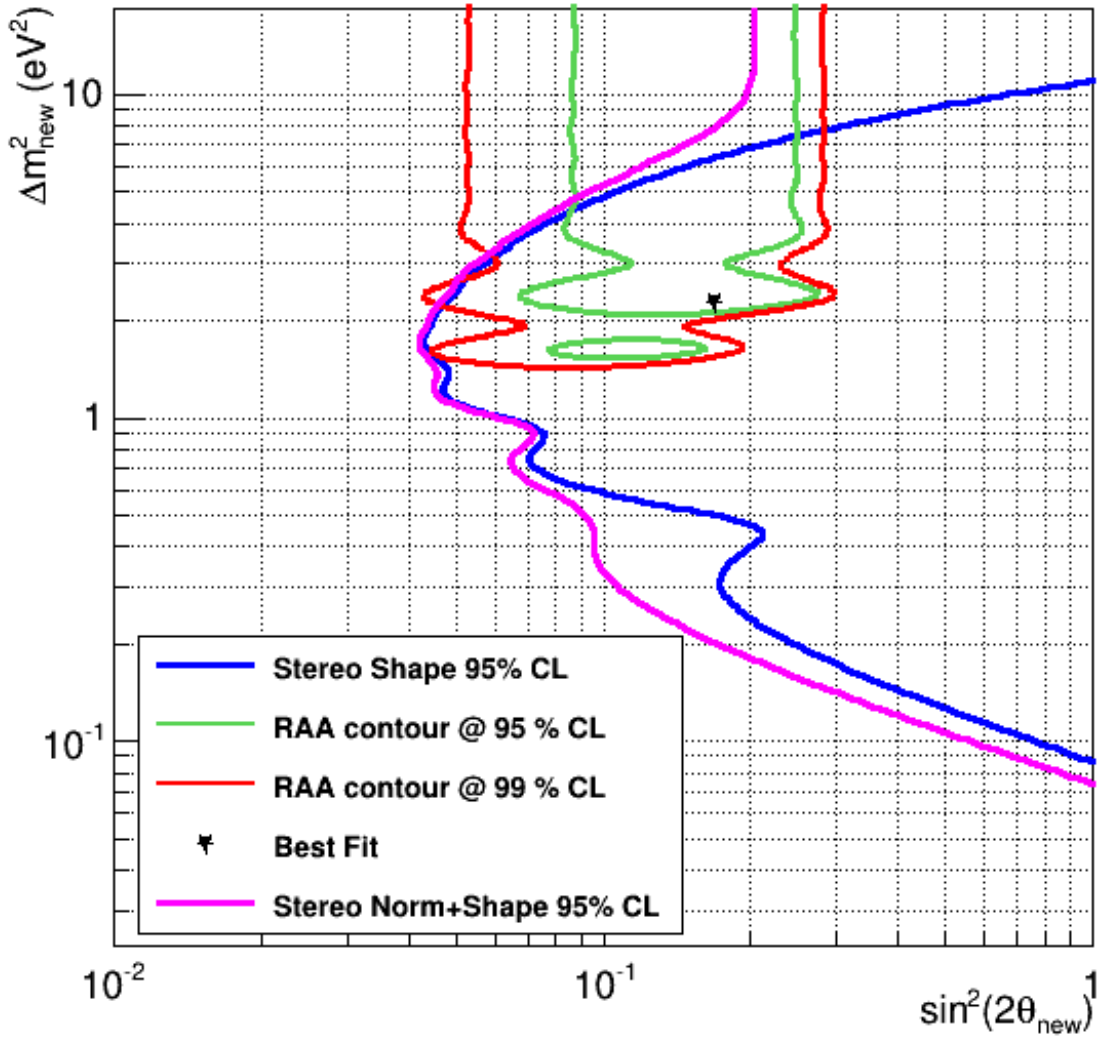
- Several experiments in conflict with current 3 active neutrinos oscillation picture:

Anomaly	Type	Significance
Gallium	ν_e disappearance	2.7 σ
Reactor	$\bar{\nu}_e$ disappearance	3.0 σ
LSND	$\bar{\nu}_\mu \rightarrow \bar{\nu}_e$	3.8 σ
MiniBoone	$\bar{\nu}_\mu \rightarrow \bar{\nu}_e$	3.0 σ

- Additional neutrinos (non-active = sterile) could explain them
- E.g. “Reactor+Gallium anomaly” → STEREO (LAPP)



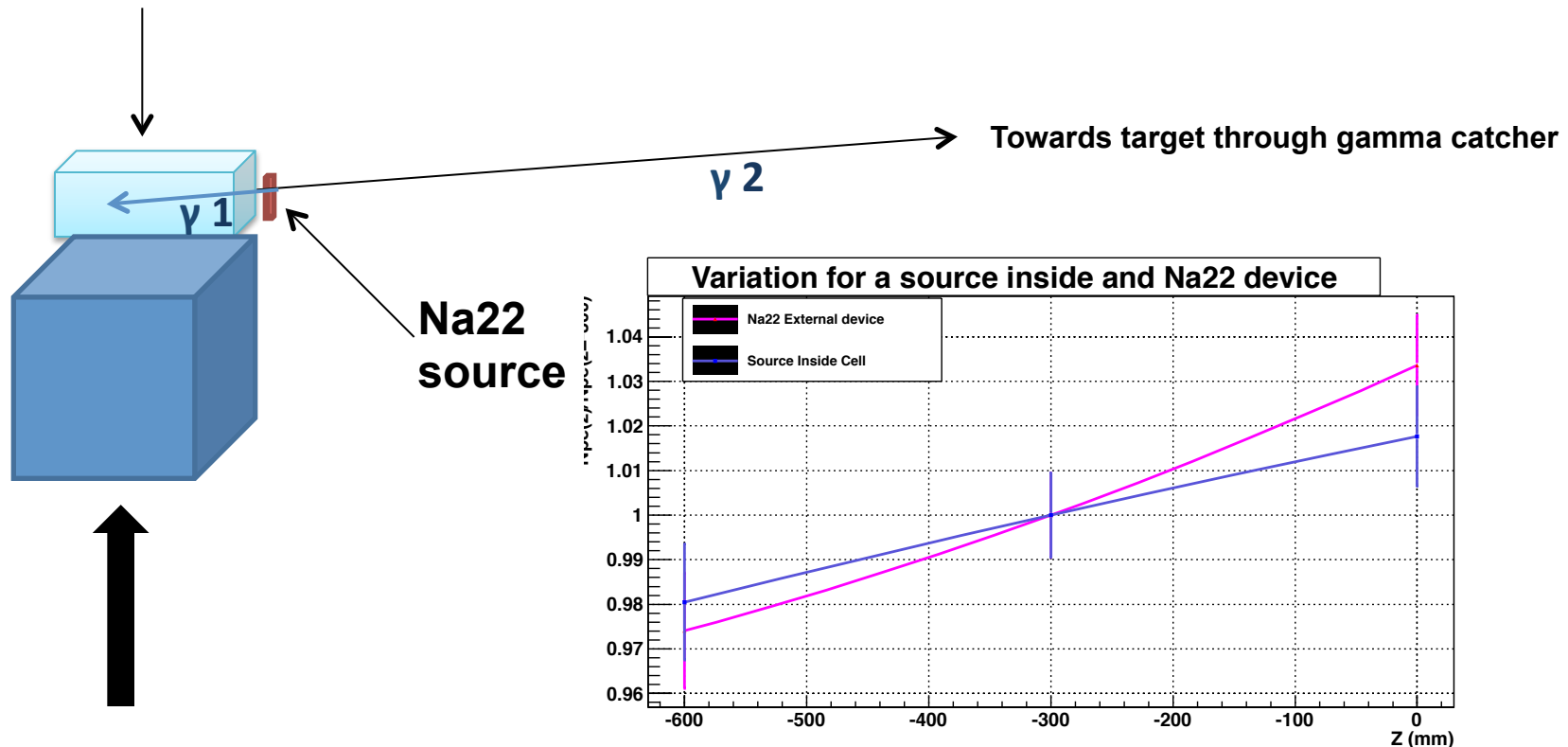
Sensibilité



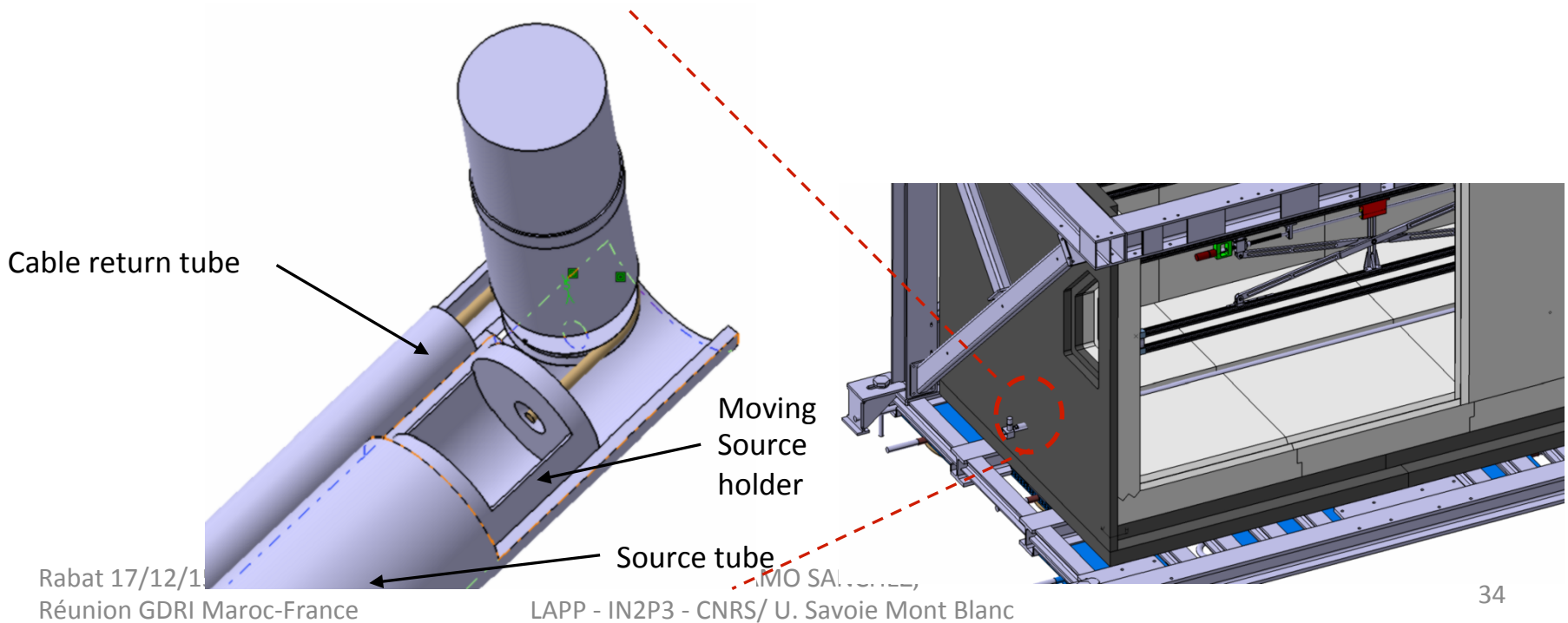
- 300 days, $\sim 480 \nu_e/\text{day}$
- $L_0 = 10.0 \text{ m}$
- $E_{\text{prompt}} > 2 \text{ MeV}$
 $E_{\text{delayed}} > 5 \text{ MeV}$
- $\delta E_{\text{scale}} = 2\%$
- All syst. of predicted spectra
- S/B = 1.5, 1/E + flat
- Norm:
 - 3.7% absolute norm.
 - 1.7% relative norm. between cells

Collimation active

LYSO cristal



Système de calibration



Fixed frame

Elevation motors

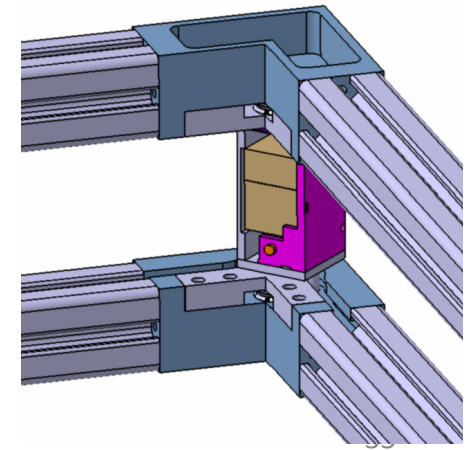
Trapezoidal screw

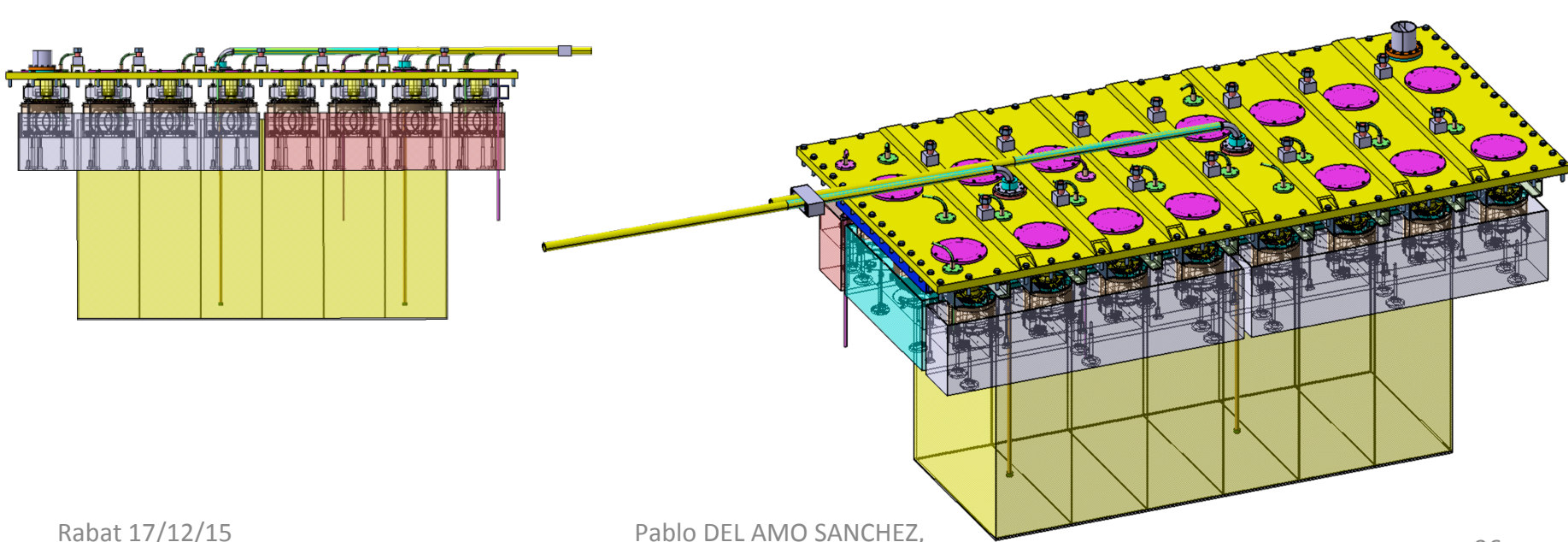
Pantograph system

Rabat 17/12/15

Réunion GDRI Maroc-France

LAPP - IN2P3 - CNRS/ U. Savoie Mont Blanc

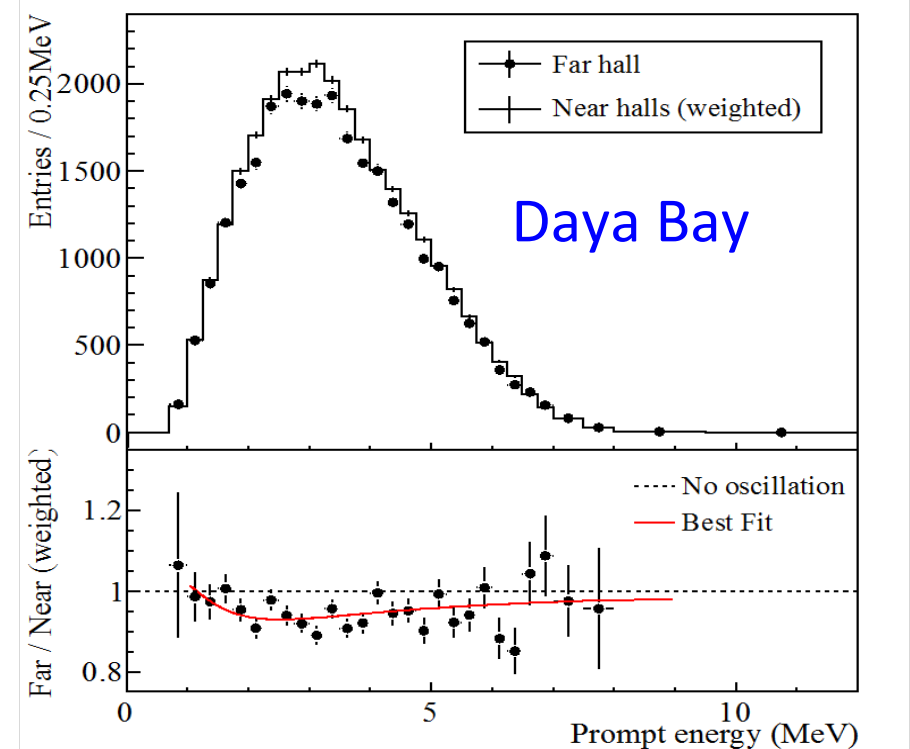
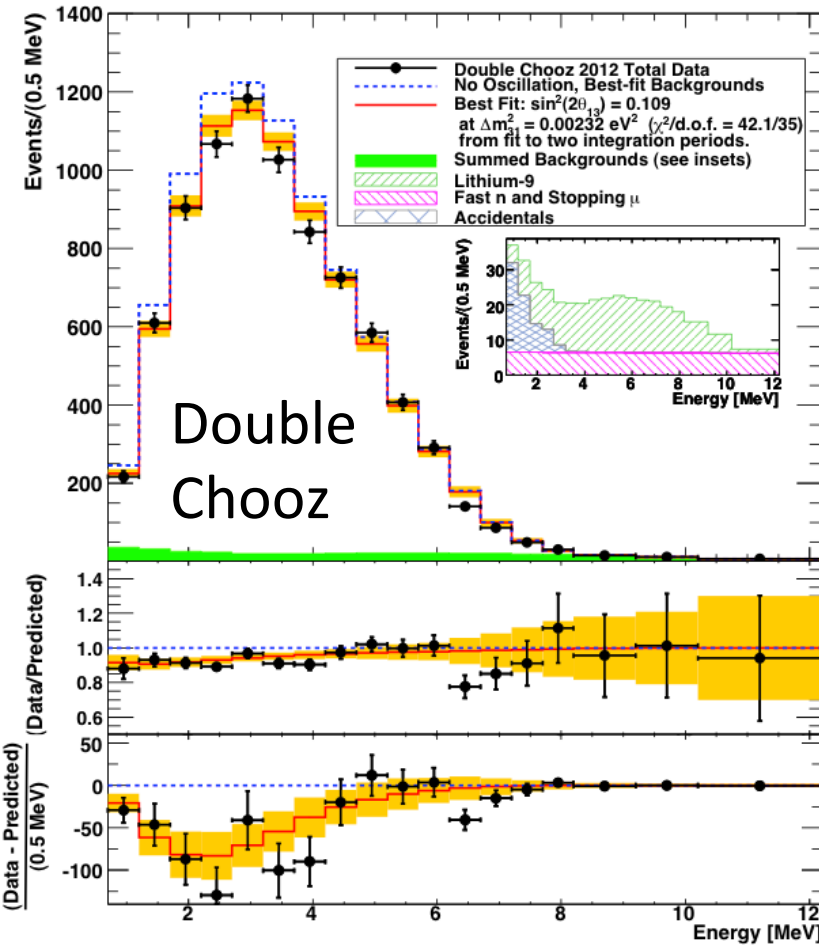




- MS : seulement ν_L , pas de $\nu_R \rightarrow m_\nu = 0$
- Oscillations de ν : $m_\nu \neq 0$
- Solutions les plus simples :
 - masse de Dirac, faut ajouter ν_R : ν stériles
 - masse de Majorana, ν_R est l'antiparticule de ν_L
 - les deux (mécanisme de see-saw) : $m_\nu \ll 1$ pour les ν actifs, $m_\nu \gg 1$ pour les stériles (1 = échelle EW)
- ν_R , bons candidats à matière noire

θ_{13} measurement

In 2012, T2K, Double Chooz, RENO and Daya Bay all measure $\theta_{13} \neq 0$:



$$\sin^2(2\theta_{13}) = 0.093 \pm 0.008$$

Blindage μ métal

